

## شاخص نوسانات اطلس شمالی و تأثیر آن بر اقلیم ایران

دکتر حمیدرضا مرادی\* - استادیار گروه مهندسی آبخیزداری، دانشگاه تربیت مدرس

پذیرش مقاله: ۸۰/۱۱/۷

### چکیده

خصوصیات جغرافیایی کشور پهناور ایران، ویژگی‌های اقلیمی متفاوتی را بوجود آورده است. این ویژگی‌ها مانح verschill فعالیت‌های طبیعی و غیر طبیعی (انسانی) عوامل مختلف در کشور است که خود در رابطه متقابل با سایر پدیده‌های اقلیمی قرار دارد. یکی از این پدیده‌های اقلیمی، شاخص نوسانات اطلس شمالی است که از نفاضل داده‌های نرمال شده ماهانه فشار مرکزی پرسشار "آزور" از کم فشار "ایسلند" بدست می‌آید. مقاله حاضر شامل توضیحاتی درباره رفتار مراکز فعال فشاری در اقیانوس اطلس شمالی بر اساس سری‌های زمانی فشار مرکزی کم فشار ایسلند (IL) و پرسشار آزور (AH) و تأثیر آنها بر روی ناهنجاری‌های اقلیمی در ایران است.

با استفاده از ناهنجاری‌های نرمال شده، شبیه فشار بین مراکز فشار زیاد آزور و کم فشار ایسلند (AH-IL) به عنوان شاخص نوسانات اطلس شمالی (INAO) مشخص شد که NAO شدید (شبیه AH-IL بالاتر از نرمال)، در زمستان با افزایش بارش و کاهش دما در اغلب مناطق کشور همراه است. بررسی‌ها در مورد NAO ضعیف، عکس الگوهای بالا را نشان می‌دهد.

وازگان کلیدی: شاخص نوسانات اطلس شمالی، کم فشار ایسلند، پرسشار آزور، اقلیم ایران.

### مقدمه

نقش اساسی اقلیم در حیات جانداران به طور عام و در زندگی و بقای انسان به طور خاص امری مسلم و بدیهی است. این امر زمانی آشکارتر می‌شود که آب و هوای یک منطقه یا یک کشور هر از چند گاهی با نوسانات و افت و خیز‌های دوره‌ای و فصلی، شرایط حیات را تا آستانه خطر در معرض تهدید قرار دهد. چنین ویژگی در آب و هوای مناطق خشک و نیمه خشک قابل حصول تر و شایع تر است. ایران از کشورهایی است که از شرایط خشک و نیمه خشک برخوردار است. میزان بارش در کشور حدود یک سوم متوسط بارش جهان است. چنین وضعی اقتضایی کند تا ابعاد مختلف عناصر آب و هوایی در کشور و عوامل و پدیده‌هایی که شدت و

ضعف عناصر فوق را کنترل می کنند، به خوبی شناسایی شوند و اقداماتی شایسته جهت سازگاری و استفاده بهینه از چنین شرایطی بعمل آید.

یکی از عوامل مؤثر و تعیین کننده در شرایط اقلیمی ایران، فعالیت دو مرکز فعال کم فشار ایسلند و فشار زیاد آزور است. چگونگی فعالیت این دو سیستم فشاری در ارتباط با یکدیگر، شاخص نوسانات اطلس شمالی خوانده می شود. این شاخص از تفاضل داده های نرمال شده فشار سطح دریای "مرکز فشار زیاد" آزور از "مرکز کم فشار" ایسلند بدست می آید. این داده ها شامل مقدار نرمال شده میانگین ماهانه فشار مرکزی دو مرکز پرفشار آزور و کم فشار ایسلند است که برای هر ماه به صورت جداگانه طی دوره آماری ۱۳۲ ساله (سال ۱۸۶۵ تا ۱۹۹۰) به وسیله جونز و ولر<sup>۱</sup> محاسبه شده است.

نحوه نرمال کردن داده ها با استفاده از فرمول شماره (۱) صورت گرفته است (مرادی، ۱۳۸۰، ۱۲۵).

$$D = P_i - P' / S$$

فرمول شماره (۱) که در آن :

$D$ : داده های نرمال شده برای هر ماه در ایستگاه مورد مطالعه

$P_i$ : مقدار فشار میانگین سطح دریا برای هر ماه در ایستگاه مورد مطالعه

$P'$ : مقدار فشار میانگین بلند مدت ماهانه سطح دریا در ایستگاه مورد مطالعه

$S$ : انحراف معیار دراز مدت ایستگاه مورد مطالعه

آنگاه شاخص نوسانات اطلس شمالی با استفاده از فرمول شماره (۲) محاسبه گردید (جونز و ولر، ۱۹۹۷، ص ۱۴۳۳).

$$INAO = AH - IL$$

فرمول شماره (۲) که در آن :

$INAO$ : شاخص نوسانات اطلس شمالی

$AH$ : میزان فشار نرمال شده مرکز پرفشار آزور

$IL$ : مقدار فشار نرمال شده مرکز کم فشار ایسلند

نتایج حاصله برای ماه ها و سال های مورد مطالعه در جدول شماره (۱) ارائه شده است.

همان طور که در جدول مشاهده می شود، هرگاه دو مرکز کم فشار ایسلند و پرفشار آزور از شدت بیشتری برخوردار باشند، شاخص نوسانات اطلس شمالی مثبت است و هرگاه دو مرکز فشاری مذکور از شدت کمتری برخوردار باشند، نتیجه حاصله منفی است.

در این تحقیق همبستگی دو مرکز فعال جوی (مرکز کم فشار ایسلند و پرفشار آزور) از نظر شدت فشار مرکزی با شرایط اقلیمی کشور (دما و بارش) در شش ماه سرد سال (اکتبر تا مارس) و برای دوره آماری بیست ساله (۱۹۷۱ تا

1- Jones and Wheeler, 1443-1997.

2- North Atlantic Oscillation

3- Azores High Pressure

4- Iceland Low Pressure

است. در تمامی این مطالعات نشان داده شد که این پارامترها با شدت گردش اقیانوس اطلس شمالی دارای کنش متقابل هستند. از این شواهد نشان داده شد که NAO الگوی غالب گردش زمستانی جو در اقیانوس اطلس شمالی و خشکی های اطراف آن محسوب می گردد.

خصوصیات جغرافیایی کشور پهناور ایران، ویژگی های اقلیمی متفاوتی را بوجود آورده است. جهت تبیین الگوهای سینوپتیک حاکم بر شرایط بارشی و دمایی کشور، پارامترهای متعددی در سطح زمین و تراز های بالایی جو موثر هستند که باید بررسی گردد. از مهم ترین مراکز فعال فشاری که در تعیین شرایط اقلیمی ایران تأثیرگذار می باشد، دو مرکز کم فشار ایسلند و پرفشار آзор و شدت و موقعیت این دو مرکز نسبت به یکدیگر است که تحت عنوان NAO در این تحقیق ذکر می گردد. بدین ترتیب هدف از این مطالعه، بررسی تأثیر شاخص نوسانات اطلس شمالی با شرایط دمایی و بارشی کشور است که برای هرمه به صورت جداگانه بررسی شد.

#### داده ها و روش کار

در این تحقیق داده های شاخص نوسانات اطلس شمالی مربوط به شش ماه سرد سال (اکتبر تا مارس) طی دوره آماری مورد مطالعه (۱۹۷۱ تا ۱۹۹۰) فراهم گردید (جدول شماره ۱). سپس نقشه های هواشناسی سینوپتیک ماهانه و داده های بارش ماهانه ۳۹ ایستگاه هواشناسی سینوپتیک که تقریباً کل کشور را تحت پوشش قرار می دهند، در شش ماه سرد سال (اکتبر تا مارس) و طی دوره آماری بیست ساله ۱۹۷۱/۷۲ تا ۱۹۸۹/۹۰ گردآوری و بررسی گردید (جدول شماره ۲).

برای تعیین ماه های خشک، مرطوب و سرد، گرم به دو صورت زیر عمل شد:

الف - طبق روش گیس و ماهر<sup>۱</sup> (کمالی و نیکزاد ۱۳۷۸، ص ۹)، مقدار بارش ماهانه و میانگین دمای ماهانه هر ایستگاه با استفاده از نرم افزار SPSS به ده چارک (یا دهک) تقسیم گردید. در این تقسیم بندی دهک های چهارم، پنجم، ششم و هفتم به عنوان میانگین و دهک های اول، دوم و سوم به ترتیب فوق العاده خشک، خیلی خشک و خشک (برای بارش) و با فوق العاده سرد، خیلی سرد و سرد (برای دما) در نظر گرفته شد. دهک های هشتم، نهم و دهم به ترتیب مرطوب، خیلی مرطوب و فوق العاده مرطوب (برای بارش) و یا گرم، خیلی گرم و فوق العاده گرم (برای دما) طبقه بندی گردید.

1- Born and Flohn  
2- Kapala and et al  
3- Gibbs & Maher

(۱۹۹۰) مورد بررسی قرار گرفت. علاوه بر این، تغییرات موقعیت جغرافیایی این مراکز به هنگام شدت و یا تضعیف نوسانات اطلس شمالی تیز بررسی و مطالعه شد. ارتباط بین اقیانوس اطلس شمالی و ناپایداری‌های اقلیمی (بارش، اختلاف دمای هوا و دمای سطح دریا، سرعت باد، رطوبت نسبی، شارگرما از اقیانوس به درون جو و ...)

جدول ۱- شاخص نوسانات اطلس شمالی در سال‌های مورد مطالعه (جونز و همکاران، ۱۹۹۷)

سال	ماه	اکتبر	نوامبر	دسامبر	ژانویه	فوریه	مارس
۱۹۷۱-۷۲	-۰/۳	۰/۷	۱/۰	۰/۷	۰/۷	۱/۶	
۱۹۷۲-۷۳	-۱/۷	۱/۵	۲/۷	۰/۷	۲/۶	۱/۲	
۱۹۷۳-۷۴	-۱/۹	-۲/۱	-۰/۶	۳/۷	۱/۴	۰/۴	
۱۹۷۴-۷۵	-۰/۹	۱/۱	۲/۴	۱/۹	-۰/۶	-۰/۰	
۱۹۷۵-۷۶	-۱/۴	۱/۰	-۱/۱	۰/۷	۱/۸	۳/۰	
۱۹۷۶-۷۷	۲/۰	۱/۴	-۳/۹	-۲/۷	-۱/۳	-۰/۰	
۱۹۷۷-۷۸	۱/۴	-۰/۷	-۱/۸	۱/۷	-۳/۷	۳/۶	
۱۹۷۸-۷۹	۰/۱	۳/۹	-۳/۹	-۳/۶	-۱/۱	۱/۴	
۱۹۷۹-۸۰	۰/۷	۲/۱	۲/۱	-۲/۶	۰/۷	۰/۰	
۱۹۸۰-۸۱	-۲/۰	-۳/۸	۱/۶	۰/۰	۱/۵	-۰/۹	
۱۹۸۱-۸۲	-۰/۲	-۱/۰	-۲/۳	-۱/۹	۲/۶	۳/۱	
۱۹۸۲-۸۳	۱/۸	۳/۲	۳/۳	۳/۵	-۱/۸	۲/۴	
۱۹۸۳-۸۴	۲/۸	-۴/۳	۰/۴	۴/۱	۱/۹	-۲/۴	
۱۹۸۴-۸۵	۲/۰	۰/۹	۲/۱	-۳/۹	-۱/۸	۰/۰	
۱۹۸۵-۸۶	-۰/۴	-۳/۳	-۱/۹	۲/۷	-۳/۹	۰/۰	
۱۹۸۶-۸۷	۵/۴	۴/۷	۲/۷	-۴/۶	-۰/۸	۰/۰	
۱۹۸۷-۸۸	۱/۲	-۰/۱	-۲/۷	۱/۳	۰/۱	۰/۹	
۱۹۸۸-۸۹	-۲/۲	-۲/۶	۰/۶	۳/۲	۴/۱	۴/۲	
۱۹۸۹-۹۰	۱/۶	-۱/۹	-۳/۸	۴/۳	۴/۷	۲/۹	

روی اقیانوس اطلس و خشکی‌های مجاور توسط افرادی نظری وان لون و مادن<sup>۱</sup> (۱۹۸۳، ص ۶۸۷)، هورل<sup>۲</sup> (۱۹۹۵، ص ۶۷۶) بورن و فلون<sup>۳</sup> (۱۹۹۷، ص ۵۱)، کاپالا و همکاران<sup>۴</sup> (۱۹۹۸، ص ۱) و محققان دیگر مورد مطالعه قرار گرفته

۱- Loon and Modden Van  
2- Hurrell

جدول ۲- اسامی ایستگاه‌های هواشناسی مورد مطالعه

شماره	نام ایستگاه	شماره	نام ایستگاه	شماره	نام ایستگاه
۱	تبریز	۱۴	سنندج	۲۷	بیرجند
۲	اردبیل	۱۵	کرمانشاه	۲۸	اهواز
۳	ارومیه	۱۶	همدان	۲۹	آبادان
۴	زنجان	۱۷	اراک	۳۰	یزد
۵	قزوین	۱۸	تهران	۳۱	کرمان
۶	انزلی	۱۹	کاشان	۳۲	زابل
۷	رامسر	۲۰	سمنان	۳۳	بوشهر
۸	بابلسر	۲۱	تریت حیدریه	۳۴	شیراز
۹	گرگان	۲۲	دزفول	۳۵	بم
۱۰	شاہرود	۲۳	خرم آباد	۳۶	زاهدان
۱۱	یجنورد	۲۴	شهرکرد	۳۷	بندر لنگه
۱۲	سیزوار	۲۵	اصفهان	۳۸	بندر عباس
۱۳	مشهد	۲۶	طبس	۳۹	ایرانشهر

ب- سه مورد از بالاترین و پائین ترین مقدار بارش هر ایستگاه و نیز سه مورد از بالاترین و پائین ترین دمای هر ایستگاه طی دوره آماری مورد مطالعه انتخاب و برای هر ماه به طور جداگانه ثبت گردید. هر سالی که در آن ایستگاه های بیشتری دارای بارش بودند، به عنوان سال مرطوب برای آن ماه به خصوص در نظر گرفته شد. به عنوان مثال، در اکتبر سال ۱۹۸۲ از مجموع ۳۹ ایستگاه مورد مطالعه، تعداد ۲۹ ایستگاه بالاترین بارش را طی دوره آماری مورد مطالعه در این سال داشته اند. لذا اکتبر ۱۹۸۲ به عنوان ماه مرطوب در نظر گرفته شد. در مورد دما نیز به همین ترتیب عمل گردید.

با تلفیق داده‌ها و اطلاعات دو روش بالا، ماههای خشک، مرطوب و سرد، گرم طی سال‌های مورد مطالعه، مشخص گردید (جدول‌های شماره ۳ و ۴).

جدول ۳- ماه‌های خشک و مرطوب طی دوره آماری مورد مطالعه

ماه سال	ماه های مرطوب	ماه های خشک	ماه	نومبر	دسامبر	ژانویه	فوریه	مارس
ماه های مرطوب	۱۹۸۲	۱۹۷۴	۱۹۷۴	۱۹۷۹	۱۹۸۲	۱۹۷۴	۱۹۷۶	۱۹۷۲
	۱۹۸۷	۱۹۷۶	۱۹۷۷	۱۹۷۴	۱۹۸۷	۱۹۷۶	۱۹۷۶	۱۹۷۶
	۱۹۷۳	۱۹۸۰	۱۹۷۹	-	-	۱۹۷۹	۱۹۷۷	۱۹۷۷
ماه های خشک	۱۹۷۳	۱۹۷۷	۱۹۸۷	۱۹۷۳	۱۹۷۴	۱۹۷۳	۱۹۷۴	۱۹۷۴
	۱۹۷۴	۱۹۸۴	۱۹۸۷	۱۹۸۱	۱۹۸۷	۱۹۸۷	۱۹۸۴	۱۹۷۳

جدول ۴- ماههای سرد و گرم طی دوره آماری مورد مطالعه

ماه سال	ماه های سال					
۱۹۷۶	ماه های سرد	۱۹۷۲	۱۹۷۲	۱۹۷۲	۱۹۷۳	۱۹۷۴
۱۹۸۳		۱۹۷۴	۱۹۷۳	۱۹۸۲	۱۹۷۸	۱۹۷۵
۱۹۸۰		۱۹۸۹	۱۹۸۹	۱۹۸۴	۱۹۸۲	۱۹۸۴
۱۹۷۷	ماه های گرم	۱۹۷۳	۱۹۷۶	۱۹۷۸	۱۹۸۰	۱۹۷۵
۱۹۸۱		۱۹۸۱	۱۹۸۱	۱۹۸۹	۱۹۸۴	۱۹۸۶
۱۹۸۴		۱۹۸۷	۱۹۸۷	-	۱۹۸۹	-

در این تحقیق کشور ایران به نه منطقه جغرافیایی تقسیم گردید (جدول شماره ۵).

مبانی انتخاب این مناطق نه گانه، موقعیت و پراکنش جغرافیایی مناسب این مناطق در گستره کشور از یک سو و همبستگی بالای بارش و دما در بین ایستگاه های انتخابی از سوی دیگر بوده است. از بین ایستگاه های موجود در هر منطقه، آنهایی که با هم همبستگی بالایی داشتند (از نظر بارش و دما) به عنوان ایستگاه های معرف آن منطقه انتخاب شدند. با استفاده از داده های ایستگاه معرف، شرایط دمایی و بارشی هریک از مناطق نه گانه نسبت به وضعیت میانگین بیست ساله معین گردید. به این ترتیب، ماه های خشک و مرطوب و یا سرد و گرم در طی دوره مورد مطالعه مشخص شد. آنگاه بین شرایط دمایی و بارشی هریک از مناطق نه گانه با داده های شاخص نوسانات اطلس شمالی، با استفاده از نرم افزار SPSS ضرایب همبستگی اعمال و نتایج حاصله به صورت جداوی و نمودار ترسیم گردید.

جدول ۵ - مناطق جغرافیایی نه گانه کشور و ایستگاه های معرف هر منطقه

منطقه جغرافیایی	اسامی ایستگاه های معرف هر منطقه
شمال	بندر انزلی - رامسر - بابلسر - گرگان
شمالغرب	تبریز - ارومیه - زنجان
شمالشرق	مشهد - تربت حیدریه - سبزوار
غرب	سنندج - همدان ساراک
مرکز	سمنان - تهران - کاشان - اصفهان - یزد
شرق	بیرجند - زابل
جنوبغرب	آبادان - اهواز - ذوقول
جنوب	بندر عباس - بندر لنگه
جنوبشرق	Zahedan - Bem - Abyanehshahr

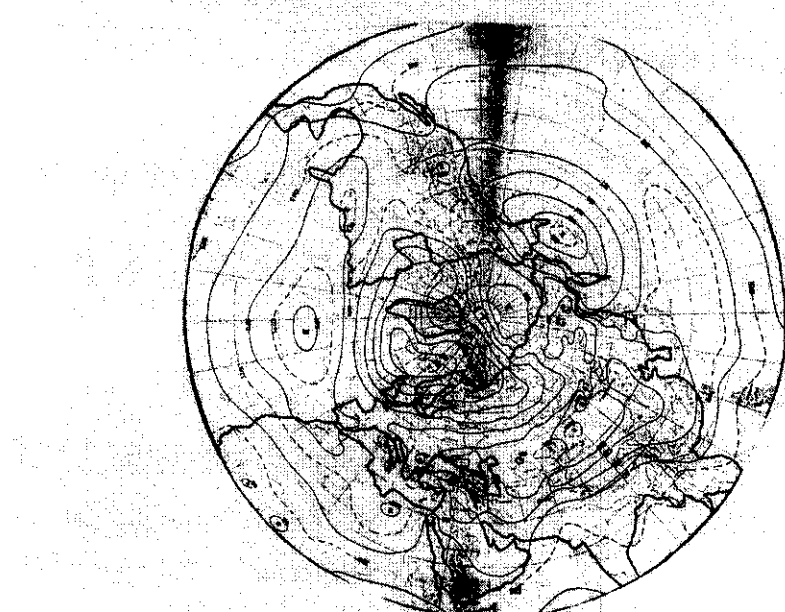
### خلاصه و نتیجه‌گیری

همان طور که در جدول شماره (۱) ملاحظه می‌شود، شاخص نوسانات اطلس شمالی که از تفاصل داده‌های نرمال شده شب فشار سطح زمین بین مراکز فشار زیاد آзор و کم فشار ایسلند (AH-IL) بدست آمده است، دارای دامنه مثبت تا منفی است. ماه‌هایی که مقدار نوسانات اطلس شمالی بزرگتر (کوچکتر) از + (-) ۱ انحراف معیار باشد، به عنوان ماه‌های همراه با NAO شدید (ضعیف) نامیده می‌شود. ماه‌هایی که NAO شدید است، هر دو مرکز فشار از شدت فعالیت پیشتری نسبت به نرمال خود برخوردار هستند (شکل شماره ۱). در این شرایط، موقعیت مرکز کم فشار ایسلند نسبت به وضعیت نرمال به سمت شمال‌شرق و موقعیت مرکز فشار زیاد آзор، کمی به سمت غرب جابجا شده باشد (شکل‌های شماره ۱ و ۲). در حالت NAO شدید، مقدار فشار مرکزی کم فشار ایسلند نسبت به نرمال، حدود سه هکتوپاسکال کاهش می‌یابد. در حالی که میزان فشار در مرکز فشار زیاد آзор، یک هکتوپاسکال نسبت به نرمال افزایش پیدا می‌کند. در زمستان‌هایی NAO ضعیف است، میزان فشار مرکزی IL حدود پنج هکتوپاسکال بیشتر از نرمال است و مقدار فشار مرکزی AH نیز حدود دو هکتوپاسکال کاهش می‌یابد؛ در نتیجه هر دو مرکز فشاری از شدت کمتری برخوردار هستند (شکل‌های شماره ۳ و ۴). در ماه‌هایی که NAO ضعیف است، IL در جنوب‌غرب موقعیت نرمال آن استقرار می‌یابد. در حالی که پرفشار آзор نسبت به موقعیت نرمال خود جابجا محسوسی را نشان نمی‌دهد. این موارد، میان آن است که بی‌هنجاری NAO عمده‌تاً تحت تأثیر تغییرات رفتار مرکز کم فشار ایسلند قرار دارد. لازم به ذکر است که اختلاف میزان فشار IL در NAO ضعیف و شدید دو برابر تغییرات در AH است.

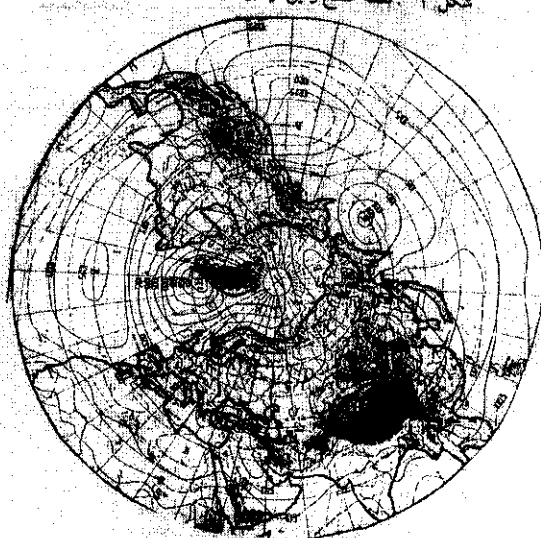
شاخص نوسانات اطلس شمالی در مجموع با بارش مناطق مختلف کشور در ماه‌های مورد مطالعه همبستگی مثبت دارد (جدول شماره ۶). به این ترتیب که افزایش فعالیت کم فشار ایسلند با افزایش بارش در اغلب نواحی کشور همراه است (شکل شماره ۵).

مقدار فرین NAO که بیانگر بیشترین شدت فعالیت دو مرکز کم فشار ایسلند و فشار زیاد آзор است با بیشترین مقدار بارش در کشور هم خوانی ندارد. البته این مطلب دور از انتظار نیست، زیرا بی‌هنجاری بارش در کشور از عوامل متعددی متأثر می‌گردد که یکی از این پارامترها شدت فعالیت کم فشار ایسلند و پرفشار آзор است.

شکل های ۱ و ۲ - نقشه سطح زمین، نوامبر ۱۹۸۳ و ژانویه ۱۹۷۲

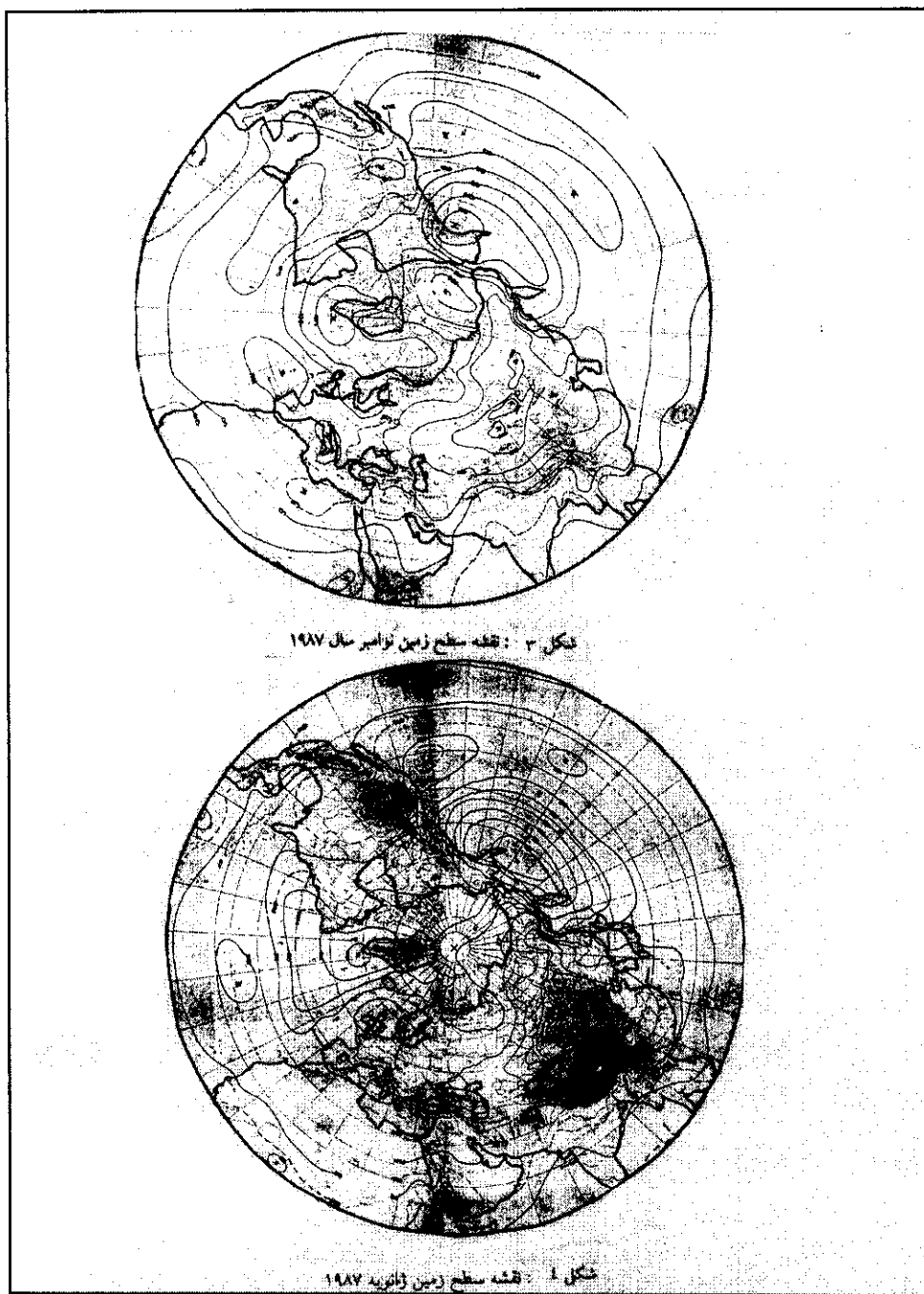


شکل ۱ : نقشه سطح زمین نوامبر سال ۱۹۸۳



شکل ۲ : نقشه سطح زمین ژانویه ۱۹۷۲

شکل‌های ۳ و ۴- نقشه سطح زمین، نوامبر و ژانویه ۱۹۸۷



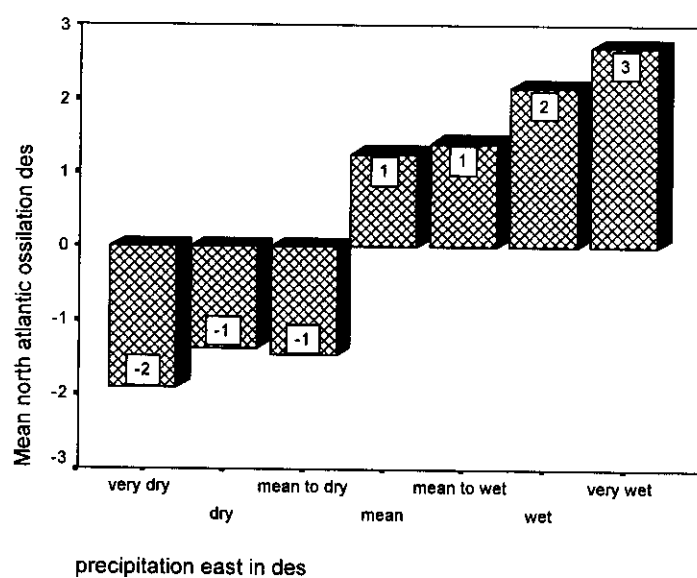
جدول ۶- همبستگی بین شاخص نوسانات اطلس شمالی با بارش برخی از مناطق کشور در ماه نوامبر

بارش جنوبشرق	بارش شرق	بارش شمال	شاخص نوسانات اطلس شمالی	همبستگی پیرسون (تعداد نمونه : ۱۸)
۰/۶۶۸***	۰/۵۹۳***	۰/۶۲۳***	۱	شاخص نوسانات اطلس شمالی
۰/۶۵۱***	۰/۶۸۶***	۱	۰/۶۲۳***	بارش شمال
۰/۷۰۱***	۱	۰/۶۸۶***	۰/۰۵۹۳***	بارش شرق
۱	۰/۷۰۱***	۰/۶۵۱***	۰/۶۶۸***	بارش جنوبشرقی

\*: همبستگی در سطح ۵٪ معنی دار است

\*\*: همبستگی در سطح ۱٪ معنی دار است

شکل ۵- نمودار همبستگی بارش شرق کشور با NAO در ماه دسامبر



شاخص نوسانات اطلس شمالی در اغلب موارد (به استثنای ماه های اکتبر و نوامبر) با دمای هوا در مناطق مختلف کشور همبستگی منفی دارد (جدول شماره ۷). به این ترتیب هرقدر میزان فعالیت دو مرکز کم فشار ایسلند و فشار زیاد آзор ازشدت بیشتری برخوردار باشد (مقدار NAO مثبت باشد)، دمای هوا در مناطق مختلف مختلف کشور کاهش می یابد (شکل های شماره ۶ و ۷).

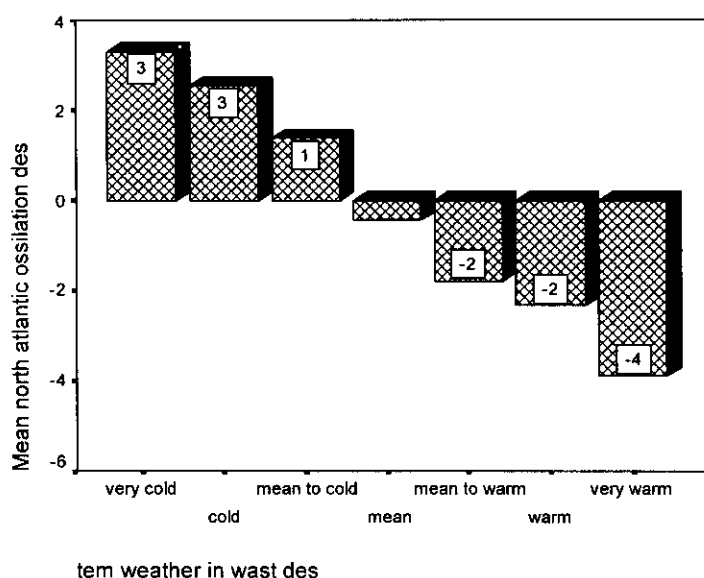
جدول ۷- همبستگی بین NAO با دمای هوای مناطق مختلف کشور در ماه دسامبر

دماه هوا در غرب	دماه هوا در شمالغرب	دماه هوا در شمال	شاخص نوسانات اطلس شمالی	همبستگی پیرسون
-۰/۸۷۰***	-۰/۰۰۱*	-۰/۰۰۳*	۱	شاخص نوسانات اطلس شمالی
۰/۰۰۳*	-۰/۸۰۷***	۱	-۰/۰۰۳*	دماه هوا در شمال
۰/۰۲۶*	۱	-۰/۸۰۷***	-۰/۰۰۱*	دماه هوا در شمالغرب
۱	۰/۰۲۶*	۰/۰۰۳*	۰/۸۷۰***	دماه هوا در غرب
۰/۷۰۰***	۰/۶۸۱***	۰/۷۹۶***	-۰/۶۴۶***	دماه هوا در مرکز
۰/۸۵۹***	۰/۶۷۱***	۰/۶۱۰***	-۰/۸۳۰***	دماه هوا در جنوبغرب

\*: همبستگی در سطح ۵٪ معنی دار است

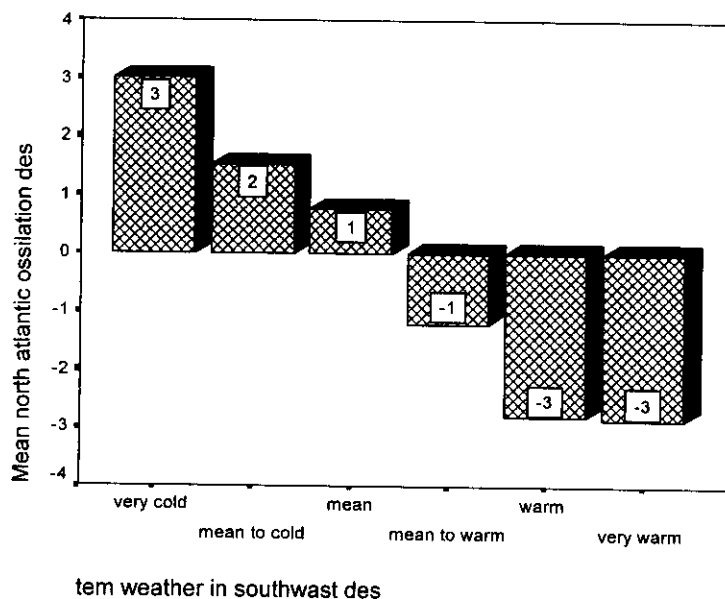
\*\*: همبستگی در سطح ۱٪ معنی دار است

شکل ۶- نمودار همبستگی بین دمای هوای جنوبغرب کشور با NAO در ماه دسامبر



بین مقدار بارش در شمال کشور با دمای هوای مناطق مختلف ایران همبستگی منفی وجود دارد. به این ترتیب که افزایش بارش در شمال کشور با برودت هوای نیمه غربی و مرکز کشور همراه است (جدول شماره ۸).

شکل ۷- نمودار همبستگی بین دمای هوای غرب کشور با NAO در ماه دسامبر



جدول ۸- همبستگی بین میانگین بارش شمال کشور با دمای هوای برخی مناطق کشور

همبستگی پرسون	بارش شمال	دما در شمالغرب	دما در غرب	دما در مرکز	دما در شرق	دما در جنوب
+0/087*	-0/090*	-0/026*	1			
+0/777***	+0/848***	1	-0/026*			
+0/822***	1	+0/848***	-0/090*			
1	+0/822***	+0/777***	-0/087*			
+0/843***	+0/430	+0/417	-0/002*			
+0/821***	+0/730***	+0/587*	-0/012*			

\*: همبستگی در سطح ۵٪ معنی دار است

\*\*: همبستگی در سطح ۱٪ معنی دار است

در مورد دما نیز شرایط ذکر شده درباره بارش صادق است. به این ترتیب که بیشینه‌ها و یا کمینه‌های مقدار NAO با برودت شدید و یا گرمای خیلی بالا در کشور همراه نیست. این امر بیانگر آن است که علاوه بر NAO عوامل دیگری نیز بر بی هنجاری دما در کشور تأثیر گذار است.

شرایط اقلیمی هر منطقه متأثر از عوامل مختلفی است. با شناخت و تبیین این عوامل می‌توان جهت مدیریت صحیح و منطقی منابع طبیعی تجدید شونده، طرح‌های کوتاه مدت و بلند مدت تدوین نمود. یکی از این عوامل موئر در شرایط

اقلیمی کشور فعالیت فشار زیاد سیبری است. شدت فعالیت کم فشار ایسلند با مرکز فشار زیاد سیبری در ارتباط است. به این ترتیب که در زمان شدت فعالیت کم فشار ایسلند، همراه با جابجا شدن مرکز کم فشار به سمت شرق، مرکز پرفشار سیبری نیز به سمت غرب جابجا می‌گردد و بعضاً در امتداد شمال دریای خزر قرار می‌گیرد (نقشه‌های ماهانه سطح زمین، مارس سال‌های ۱۹۷۶ و ۱۹۸۷). در این شرایط، کشور از بارش خوبی برخوردار است؛ زیرا استقرار پرفشار در امتداد شمال دریای خزر همراه با مراکز بسته پرارتفاع در ترازهای بالاتر (پدیده بلاکینگ<sup>۱</sup>) باعث دو شاخه شدن جریانات غربی شده که بخشی از این جریانات به عرض‌های جنوبی تر رانده شده و کشور ما را تحت تأثیر قرار می‌دهند. به این ترتیب، پیشنهاد می‌شود تا شخصی از تفاضل داده‌های نرمال شده میزان فشار مرکزی دو مرکز فشار زیاد سیبری و کم فشار ایسلند بدست آید، تا به این ترتیب بتوان شرایط دمایی و بارشی کشور را با شخص مزبور بهتر توجیه نمود.

**منابع و مأخذ**

- ۱ - نقشه‌های سینوپتیک سازمان هواشناسی کشور و اطلس‌های روسی
- ۲ - داده‌های هواشناسی (بارش و دما) ایستگاه‌های هواشناسی سینوپتیک سازمان هواشناسی کشور
- ۳ - کمالی، غلامعلی و نیکزاد، محمود، (۱۳۷۸)، شاخص‌های هواشناسی در خشکسالی کشاورزی ، مجله نیوار ، صفحه ۹-۱۹ .
- ۴- مرادی، حمید رضا، (۱۳۸۰)، تحلیل سینوپتیکی تاوه قطبی و اثرهای آن بر اقلیم ایران، محمد خیراندیش، رساله دکتری، دانشگاه تربیت مدرس، گروه جغرافیا
- 5- Born, k. and Flohn, H. 1997.The detection of changes in baroclinicity and synoptic activity on the Northern Hemisphere for the period 1967-1994 using two data sets, Meteorol. Z. NF, 6, 51-59.
- 6-Hurrell, J. W.1995.Decadal trends in the North Atlantic Oscillation: regional temperatures and precipitation, Science, 269, 676-679.
- 7- Jones, P. D., Wheeler, D.,1997.Extension to the North Atlantic Oscillation using early instrumental pressure observation from Gibraltar and southwest Iceland. int. J. climatol. 17, 1433-1450.
- 8- Kapala, A., Machel and Flohn. H. 1998. Behavior of the centers of action above the Atlantic since 1881. Part I: characteristics of seasonal and interannual variability , Int. J. climatology, vol. 18, 1-22.
- 9- Kapala, A., Machel and Flohn. H. 1998. Behavior of the centers of action above the Atlantic since 1881. Part I: characteristics of seasonal and interannual variability, Int. J. climatology, vol. 18, 23-36.
- 10- Van Loon, H. and Modden, R. A. 1983. interannual variability of mean monthly sea-level pressure in January , J . clim. Appl. Meteorol., 22 , 678-692
- 11- Van Loon, H. And Rogers, J. C. 1978. The seesaw in winter temperatures between Greenland and North Europe. Part I. General description , Mon. Wea. Rev., 106, 296-310.